

Prof. Dr. Alfred Toth

Antidromische Nomeme, Sememe und Praxeme

1. Die triadische Zeichenrelation ist nach dem Muster von Walther (1979, S. 79) aus dyadischen Relationen konkateniert.

$$ZR^{3,2} = (1 \rightarrow 2) \circ (2 \rightarrow 3) = (1 \rightarrow 2 \rightarrow 3)$$

Zusätzlich zur Bezeichnungsrelation $(1 \rightarrow 2)$ und zur Bedeutungsrelation $(2 \rightarrow 3)$ tritt allerdings noch die Umkehrabbildung $(3 \rightarrow 1)$, die Gebrauchsrelation, die das Zeichen im Dreiecksgraph abschließt. Bense nannte in seinem „Zeichenkreis“ die drei dyadischen Teilrelationen Nomeme, Sememe und Praxeme (Bense 1975, S. 111 ff.).

2. Projiziert man diese „emischen“ Zeichenrelationen, die nach dem Vorbild der strukturalistischen linguistischen Entitäten geprägt sind, auf von Kaehr (2007) eingeführte algebraische Diamonds, so erhält man dromisch-antidromische Paare minimaler Entitäten.

Both conceptualizations, the categorical and the saltatorial, of a diamond are not only autonomous but are reflecting their antagonistic movements, i.e. they are involved in an *antidromic* and *parallax* interplay.

(Kaehr 2009, S. 200)

2. Linguistische minimale Entitäten als Paare von Morphismen und Heteromorphismen

2.1. Nomeme

Allgemeines Abbildungsschema:

$$f: (1.x) \rightarrow (2.y)$$

Diamondstrukturen

$$\begin{array}{ccc} & 2.1 \leftarrow & 1.1 \\ & | & | \\ 1.1 \rightarrow & 2.1 \circ & 1.1 \end{array}$$

$$\begin{array}{ccc} & 2.2 \leftarrow & 1.1 \\ & | & | \\ 1.1 \rightarrow & 2.2 \circ & 1.1 \end{array}$$

$$\begin{array}{ccc}
 & 2.3 \leftarrow & 1.1 \\
 & | & | \\
 1.1 \rightarrow & 2.3 \circ & 1.1
 \end{array}$$

$$\begin{array}{ccc}
 & 2.1 \leftarrow & 1.2 \\
 & | & | \\
 1.2 \rightarrow & 2.1 \circ & 1.2
 \end{array}$$

$$\begin{array}{ccc}
 & 2.2 \leftarrow & 1.2 \\
 & | & | \\
 1.2 \rightarrow & 2.2 \circ & 1.2
 \end{array}$$

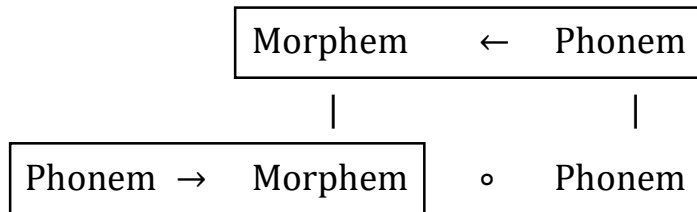
$$\begin{array}{ccc}
 & 2.3 \leftarrow & 1.2 \\
 & | & | \\
 1.2 \rightarrow & 2.3 \circ & 1.2
 \end{array}$$

$$\begin{array}{ccc}
 & 2.1 \leftarrow & 1.3 \\
 & | & | \\
 1.3 \rightarrow & 2.1 \circ & 1.3
 \end{array}$$

$$\begin{array}{ccc}
 & 2.2 \leftarrow & 1.3 \\
 & | & | \\
 1.3 \rightarrow & 2.2 \circ & 1.3
 \end{array}$$

$$\begin{array}{ccc}
 & 2.3 \leftarrow & 1.3 \\
 & | & | \\
 1.3 \rightarrow & 2.3 \circ & 1.3
 \end{array}$$

Interplay von Morphismus und Heteromorphismus:



2.2. Sememe

Allgemeines Abbildungsschema:

$g: (2.x) \rightarrow (3.y)$

Diamondstrukturen

$$\begin{array}{ccc} 3.1 & \leftarrow & 2.1 \\ | & & | \\ 2.1 & \rightarrow & 3.1 \circ 2.1 \end{array}$$

$$\begin{array}{ccc} 3.2 & \leftarrow & 2.1 \\ | & & | \\ 2.1 & \rightarrow & 3.2 \circ 2.1 \end{array}$$

$$\begin{array}{ccc} 3.3 & \leftarrow & 2.1 \\ | & & | \\ 2.1 & \rightarrow & 3.3 \circ 2.1 \end{array}$$

$$\begin{array}{ccc} 3.1 & \leftarrow & 2.2 \\ | & & | \\ 2.2 & \rightarrow & 3.1 \circ 2.2 \end{array}$$

$$\begin{array}{ccc}
 & 3.2 & \leftarrow & 2.2 \\
 & | & & | \\
 2.2 & \rightarrow & 3.2 & \circ & 2.2
 \end{array}$$

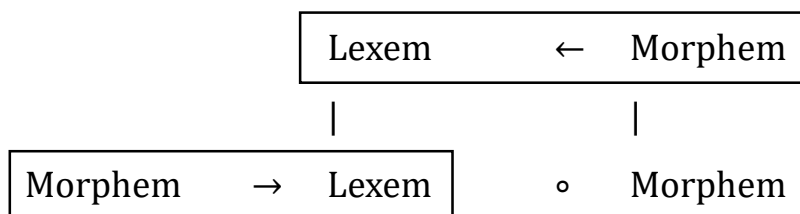
$$\begin{array}{ccc}
 & 3.3 & \leftarrow & 2.2 \\
 & | & & | \\
 2.2 & \rightarrow & 3.3 & \circ & 2.2
 \end{array}$$

$$\begin{array}{ccc}
 & 3.1 & \leftarrow & 2.3 \\
 & | & & | \\
 2.3 & \rightarrow & 3.1 & \circ & 2.3
 \end{array}$$

$$\begin{array}{ccc}
 & 3.2 & \leftarrow & 2.3 \\
 & | & & | \\
 2.3 & \rightarrow & 3.2 & \circ & 2.3
 \end{array}$$

$$\begin{array}{ccc}
 & 3.3 & \leftarrow & 2.3 \\
 & | & & | \\
 2.3 & \rightarrow & 3.3 & \circ & 2.3
 \end{array}$$

Interplay von Morphismus und Heteromorphismus:



2.3. Praxeme

Allgemeines Abbildungsschema:

(3.x) \rightarrow (1.y)

Diamondstrukturen

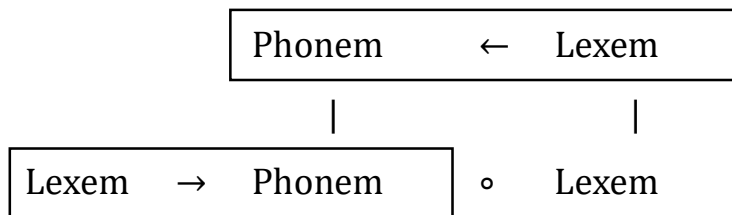
$$\begin{array}{ccc} & 1.1 \leftarrow & 3.1 \\ & | & | \\ 3.1 \rightarrow & 1.1 \circ & 3.1 \end{array}$$
$$\begin{array}{ccc} & 1.2 \leftarrow & 3.1 \\ & | & | \\ 3.1 \rightarrow & 1.2 \circ & 3.1 \end{array}$$
$$\begin{array}{ccc} & 1.3 \leftarrow & 3.1 \\ & | & | \\ 3.1 \rightarrow & 1.3 \circ & 3.1 \end{array}$$
$$\begin{array}{ccc} & 1.1 \leftarrow & 3.2 \\ & | & | \\ 3.2 \rightarrow & 1.1 \circ & 3.2 \end{array}$$
$$\begin{array}{ccc} & 1.2 \leftarrow & 3.2 \\ & | & | \\ 3.2 \rightarrow & 1.2 \circ & 3.2 \end{array}$$
$$\begin{array}{ccc} & 1.3 \leftarrow & 3.2 \\ & | & | \\ 3.2 \rightarrow & 1.3 \circ & 3.2 \end{array}$$

$$\begin{array}{ccc}
 & 1.1 & \leftarrow & 3.3 \\
 & | & & | \\
 3.3 & \rightarrow & 1.1 & \circ & 3.3
 \end{array}$$

$$\begin{array}{ccc}
 & 1.2 & \leftarrow & 3.3 \\
 & | & & | \\
 3.3 & \rightarrow & 1.2 & \circ & 3.3
 \end{array}$$

$$\begin{array}{ccc}
 & 1.3 & \leftarrow & 3.3 \\
 & | & & | \\
 3.3 & \rightarrow & 1.3 & \circ & 3.3
 \end{array}$$

Interplay von Morphismus und Heteromorphismus:



Minimale Entitäten verbergen also hinter ihrer dyadischen Struktur ein tetradisches Schema, das quadralektisch ist. Diese quadralektische Relation ist isomorph derjenigen, die ich in der „Logik des Jägers Gracchus“ aufgedeckt hatte (vgl. Toth 2015). D.h. hinter einer binären Opposition wie z.B. bei der von Laut (L) und Bedeutung (B)

L : B

liegt ein eine quaternäre Relation wie z.B.

LL, LB, BL, BB,

deren Teilfunktionen denjenigen der semiotisch-epistemischen Relation

$E = (OO, SO, OS, SS)$

(vgl. Kaehr 2011) isomorph sind.

Literatur

Bense, Max, Semiotische Prozesse und Systeme. Baden-Baden 1975

Kaehr, Rudolf, The Book of Diamonds. Glasgow, U.K. 2007

Kaehr, Rudolf, Diamond Semiotic Short Studies. Glasgow, U.K. 2009

Kaehr, Rudolf, Quadralectic Diamonds: Four-Foldness of Beginnings. Semiotic Studies with Toth's „Theory of the Night“. Glasgow, U.K. 2011

Toth, Alfred, Die Logik des Jägers Gracchus. In: Electronic Journal for Mathematical Semiotics, 2015

Walther, Elisabeth, Allgemeine Zeichenlehre. 2. Aufl. Stuttgart 1979

13.7.2025